

Спектральная фоточувствительность гетероструктур $a\text{-SiGe:H/c-Si}$ © А.А. Шерченков[†]Московский институт электронной техники,
124498 Москва, Россия

(Получена 23 декабря 2002 г. Принята к печати 27 декабря 2002 г.)

Представлены результаты исследования свойств гетероструктур $a\text{-SiGe:H/c-Si}$, полученных высокоскоростным методом низкочастотного (55 кГц) плазмохимического осаждения. Показано, что пленки $a\text{-SiGe:H}$ обладают высокой фоточувствительностью. Положением пика фоточувствительности гетероструктур $a\text{-SiGe:H/c-Si}$ можно управлять в диапазоне от 830 нм за счет увеличения содержания Ge и уменьшения ширины запрещенной зоны сплава $a\text{-SiGe:H}$.

В настоящее время основной областью применения пленок аморфного гидрогенизированного кремния ($a\text{-Si:H}$) являются дешевые фотоэлектрические устройства [1]. Введение германия в $a\text{-Si:H}$ позволяет в широких пределах варьировать ширину щели подвижности, изменяя тем самым спектральный диапазон чувствительности приборов. Настоящее сообщение посвящено первым исследованиям свойств гетероструктур $a\text{-SiGe:H/c-Si}$, впервые полученных высокоскоростным методом низкочастотного (55 кГц) плазмохимического осаждения (НЧ ПХО).

Гетероструктуры формировались осаждением слоев $a\text{-SiGe:H}$ на монокристаллические кремниевые подложки с удельным сопротивлением 10 Ом·см. Температура подложки, мощность разряда и давление в реакторе составляли 225°C, 150 Вт и 70 Па соответственно. Содержание германа в смеси с моносиланом ($R_{\text{Ge}} = ([\text{GeH}_4]/[\text{SiH}_4] + [\text{GeH}_4])100\%$) изменялось в диапазоне от 0 до 44.5%. Концентрация Ge в пленке определялась с помощью рентгеновского микрозондового анализа. Характеристики гетероструктур под освещением изучались в диапазоне длин волн от 500 до 1100 нм.

Результаты исследования оптических и электрофизических свойств сплавов $a\text{-SiGe:H}$, сформированных при различных R_{Ge} , представлены в табл. 1. Как видно из таблицы, метод НЧ ПХО позволяет заметно повысить скорость роста пленок $a\text{-SiGe:H}$ по сравнению со стандартным методом ПХО на частоте 13.56 МГц (3.3 Å/с [2]).

Зависимости произведения $\eta\mu\tau$, вычисленного по результатам измерения фотопроводимости, а также энергии Урбаха (E_0), оцененной по методу постоянного фототока, от ширины запрещенной зоны (E_g) для полученных пленок $a\text{-SiGe:H}$ представлены на рис. 1. Видно, что с уменьшением E_g энергия Урбаха увеличивается, а величина $\eta\mu\tau$ уменьшается. Увеличение E_0 свидетельствует об увеличении плотности состояний в щели подвижности $a\text{-SiGe:H}$. Увеличение плотности состояний с увеличением содержания Ge в свою очередь приводит к увеличению количества рекомбинационных центров и уменьшению величины $\eta\mu\tau$. Согласно данным

ИК спектроскопии, увеличение E_0 и уменьшение $\eta\mu\tau$ коррелирует с заменой Si-H-связей на Ge-H, что приводит к формированию дефектов, обусловленных Ge. Из табл. 1 видно, что при $E_g = 1.63$ и 1.54 эВ отношение $\sigma_{\text{ph}}/\sigma_d$ имеет значение того же порядка, что и для $a\text{-Si:H}$ [1]. Таким образом, пленки $a\text{-SiGe:H}$, полученные методом НЧ ПХО, обладают высокой фоточувствительностью и соответствуют пленкам приборного качества.

При исследовании спектральных характеристик гетероструктур $a\text{-SiGe:H/c-Si}$ образцы освещались со стороны осажденного слоя аморфного сплава. На рис. 2 представлены спектральные зависимости относительной квантовой эффективности фотопреобразования η для гетероструктур $a\text{-SiGe:H/c-Si}$, которая определялась как [3]

$$\eta(h\nu) = \frac{I_{sc}(h\nu)}{h\nu},$$

где I_{sc} — ток короткого замыкания, $h\nu$ — энергия падающих фотонов.

Как видно из рис. 2, длинноволновый край зависимости $\eta(h\nu)$ определяется поглощением фотонов с энергией $E \leq 1.12$ эВ в узкозонном материале $c\text{-Si}$. Коротковолновый край поглощения определяется шириной щели сплава $a\text{-SiGe:H}$ и смещается в длинноволновую область при увеличении содержания германия в сплаве

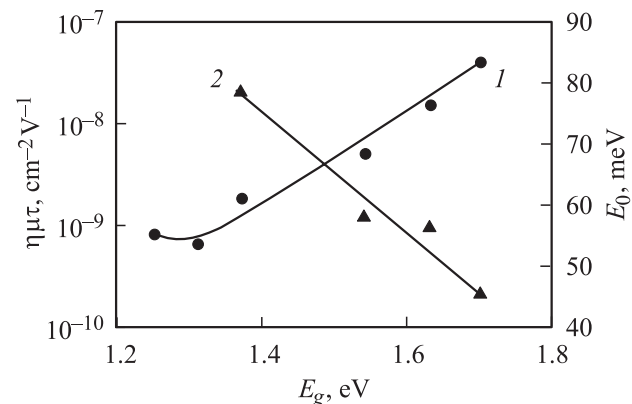


Рис. 1. Зависимости $\eta\mu\tau$ (1) и энергии Урбаха E_0 (2) от оптической ширины запрещенной зоны.

[†] E-mail: budaguan@ms.mice.ru

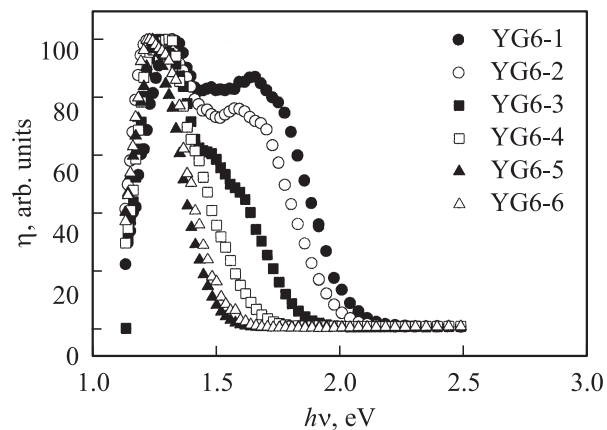
Таблица 1. Результаты исследования оптических и электрофизических свойств сплавов *a*-SiGe:H, полученных при различных R_{Ge}

Образцы	$R_{Ge}, \%$	$V_d,$ $\text{\AA}/\text{с}$	$E_g,$ $\text{эВ} \pm 0.01$	$E_F,$ $\text{эВ} \pm 0.01$	$\sigma_d,$ $\text{Ом}^{-1} \cdot \text{см}^{-1}$	$\sigma_{ph},$ $\text{Ом}^{-1} \cdot \text{см}^{-1}$	σ_d/σ_{ph}
YG6-11	0	11.1	1.70	0.75	$3.46 \cdot 10^{-10}$	$3.42 \cdot 10^{-5}$	$9.90 \cdot 10^4$
YG6-24	9.1	8.9	1.63	0.78	$5.10 \cdot 10^{-11}$	$1.40 \cdot 10^{-5}$	$2.75 \cdot 10^5$
YG6-310	16.7	12.5	1.54	0.77	$2.75 \cdot 10^{-10}$	$4.60 \cdot 10^{-6}$	$1.67 \cdot 10^4$
YG6-42	27.5	12.5	1.37	0.69	$1.26 \cdot 10^{-9}$	$1.90 \cdot 10^{-6}$	$1.51 \cdot 10^3$
YG6-52	37.5	9.4	1.31	0.65	$3.99 \cdot 10^{-9}$	$5.28 \cdot 10^{-7}$	$1.32 \cdot 10^2$
YG6-65	44.5	11.4	1.25	0.66	$1.41 \cdot 10^{-8}$	$7.00 \cdot 10^{-7}$	$4.97 \cdot 10^1$

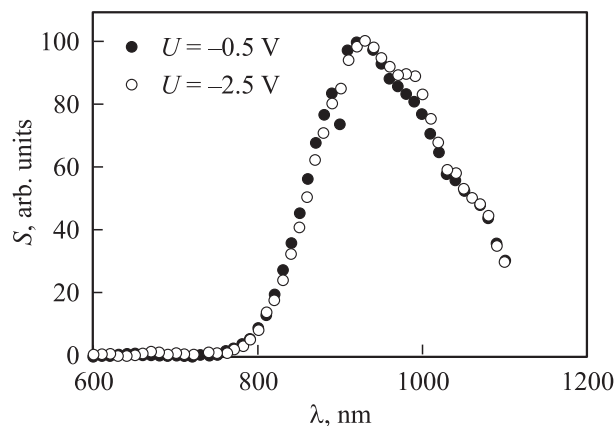
Таблица 2. Положения пиков удельной фоточувствительности при различных смещениях для гетероструктур *a*-SiGe:H

Образец	$R_{Ge}, \%$	Положение пика удельной фоточувствительности, нм							
		2.5 В	1.5 В	1.0 В	0.5 В	0 В	-0.5 В	-1.5 В	-2.5 В
YG6-1	0	830	830	830	830	830	830	830	830
YG6-2	9.1	830	830	810	830	830	830	830	830
YG6-3	16.7	830	830	830	830	830	830	840	830
YG6-4	27.5	860	860	880	870	870	870	870	870
YG6-5	37.5	940	920		930	890	930	940	930
YG6-6	44.5					920	920	920	920

и уменьшении E_g . В результате для образцов с большим содержанием Ge ($R_{Ge} \geq 27.5\%$) в пленке наблюдается пик η в узкой области длин волн с максимумом при энергиях фотонов 1.23–1.30 эВ. Для гетероструктур, сформированных при $R_{Ge} \leq 27.5\%$, наблюдается широкополосный характер квантовой эффективности фотопреобразования, что свидетельствует о высоком качестве границы раздела в гетероструктурах и низкой интенсивности процессов рекомбинации на ней. Высокое качество границы раздела может быть связано с присутствием водорода в пленках *a*-SiGe:H и пассивацией оборванных связей на границе раздела, а также с наличием ионной бомбардировки поверхности роста, что является характерной особенностью низкочастотного разряда.

**Рис. 2.** Спектральная зависимость относительной квантовой эффективности фотопреобразования для гетероструктур *a*-SiGe:H, сформированных при различных R_{Ge} .

На рис. 3 представлена типичная спектральная зависимость удельной фоточувствительности S , которая рассчитывалась как отношение фотопроводимости к ин-

**Рис. 3.** Спектральная зависимость удельной фоточувствительности для гетероструктур *a*-SiGe:H/*c*-Si, сформированных при $R_{Ge} = 37.5\%$.

тенсивности падающего излучения, для гетероструктур *a*-SiGe:H/*c*-Si. В табл. 2 указаны также положения пиков удельной фоточувствительности при различных смещениях для исследованных гетероструктур. Видно, что положение максимумов S слабо зависит от величины прикладываемого напряжения. В то же время положение пика удельной фоточувствительности изменяется от 830 до 920 нм при изменении R_{Ge} от 0 до 44.5%. Наблюдаемый заметный сдвиг пика фоточувствительности

в длинноволновую область при $R_{Ge} \geq 27.5\%$ можно объяснить уменьшением ширины запрещенной зоны сплава $a\text{-SiGe:H}$ и увеличением поглощения падающего излучения в длинноволновой области.

Таким образом, полученные нами данные свидетельствуют о том, что пленки $a\text{-SiGe:H}$, полученные высокоскоростным методом НЧ ПХО, обладают высокой fotocувствительностью и при $E_g = 1.63$ и 1.54 эВ отношение σ_{ph}/σ_d имеет значение того же порядка, что и для $a\text{-Si:H}$ ($1.67 \cdot 10^4 - 2.75 \cdot 10^5$). За счет увеличения содержания Ge и уменьшения ширины запрещенной зоны сплава $a\text{-SiGe:H}$ возможно управлять положением пика fotocувствительности гетероструктур $a\text{-SiGe:H/c-Si}$ в диапазоне от 830 до 920 нм и, таким образом, изменять спектральный диапазон чувствительности фотоэлектрических устройств.

Список литературы

- [1] R.E.I. Schropp, M. Zeman. *Amorphous and microcrystalline silicon solar cells: modeling, materials and device technology* (Kluwer Academic publishers, Boston–Dordrecht–London, 1998) p. 207.
- [2] B.G. Budaguan, A.A. Sherchenkov, A.A. Berdnikov, A.A. Aivazov. Int. 196th Meeting Electrochem. Soc. and 1999 Fall Meeting Electrochem. Soc. Japan (Hawaii, 1999) p. 1449.
- [3] Ю.А. Николаев, В.Ю. Рудь, Ю.В. Рудь, Е.И. Теруков. ФТП, **34**, 685 (2000).

Редактор Л.В. Беляков

Spectral photosensitivity of heterostructures $a\text{-SiGe:H/c-Si}$

A.A. Sherchenkov

Moscow Institute of Electronic Technology,
124498 Moscow, Russia

Abstract Results of the investigation of the properties of $a\text{-SiGe:H/c-Si}$ heterostructures fabricated by the high rate low frequency (55 kHz) plasma-enhanced chemical vapor deposition are presented. It is shown that $a\text{-SiGe:H}$ films possess high photosensitivity. Position of the peak of the photosensitivity of $a\text{-SiGe:H/c-Si}$ heterostructures can be controlled in the range from 830 to 920 nm due to the increase of the Ge content and decrease of the width of the band gap of $a\text{-SiGe:H}$ alloy.